

III-104 排除型砂杭の打設による圧密

東洋大学工学部 正員 赤木俊光

1.はじめに

筆者は先に排除型砂杭としてのサンドドレーンやサンドコンパクション・パイプレの打設による圧密や、改良地盤の強度に対する多くの場合、無視できない効果を持つことを若干の実例について示す。^{1)~3)} また砂杭打設による軟弱地盤の圧密は、その大部分が比較的急速に発生することを指摘したが、以下にこの圧密現象の本質および時間的経過についての一考察を要約する。

2. 単杭の打設による余剰間隙水圧の発生と消散

砂杭工法に用いられるマンドレルの打込みと、排除型の杭の打込みとは、軟弱地盤に対して全く効果を及ぼさるものと考えられる。飽和粘土は杭の打込みに対して非圧縮的に挙動し、一部は地表面の隆起として、残りは側方への移動として排除されるが、全時に打込み曳引漏斗の間隙水圧は大半は上昇する。こうして発生した余剰間隙水圧の消散が杭の打設による圧密現象であるが、これによる杭周辺の強度増加は古くより認識されており、打設された杭を中心にして水平方向放射状に排水が行われることが指摘されている。Soderberg⁴⁾は、単杭の打設による余剰間隙水圧の時間的変化は、Barron の式と全く同じで表わされることを示す。すなわち、極座標を用いて半径から距離、 c_h を水平方向の圧密係数とすれば、 $\frac{\partial u}{\partial t} = c_h \left(\frac{\partial^2 u}{\partial r^2} + \frac{1}{r} \frac{\partial u}{\partial r} \right)$ — (1) 彼はさらに、打設時における水平面上入力の釣合条件より、水平全応力の増加は常に反比例することを示し、杭の半径を r_0 、杭周面に発生する力を u_0 とすると、 $u = u_0 r_0 / r$ — (2) と仮定できることを示している。

Hagerty と Garlanger⁵⁾は数例の実測値を整理して、この仮定の妥当性を検討している。

単杭の場合には(2)式を初期条件とし、杭周面を不透水境界とすれば、(1)式の解が得られる^{4), 5)}。1本の砂杭打設の場合についても、(2)式による余剰間隙水圧の分布を仮定し、砂杭周面を排水面であるとすれば、容易に(1)式の解を求めることができる。Fig. 1 は差分法による解を、新たに定義した時間参数 $T' = c_h \cdot t / r_0^2$ — (3) について示したものである。この図によれば、砂杭打設後の間隙水圧の消散は、砂杭周辺で急速に進行することができるが、また全時に向外に向う放射状排水の傾向が認められる。この傾向を明示するため、Fig. 1 では特に $T' = 0.25$ の場合を点線で示した。

u はある距離より外側では、僅かながら初期値より大きくなり、この距離は時間の経過と共に外方に移動する。

いま中心の距離(半径)を除く円柱内 u/a の消散を、砂杭の打設による圧密の進行として考えれば、Fig. 1 の計算結果を用いて、種々の半径 r_0 をもつ中空円筒形の飽和粘土につき、その平均圧密度を求めることができる。Fig. 2 は、半径 2~10 倍の場合に対する時間的経過を示す圧密曲線である。

以上は1本の砂杭についての考察であるが、実際には複数の砂杭がある

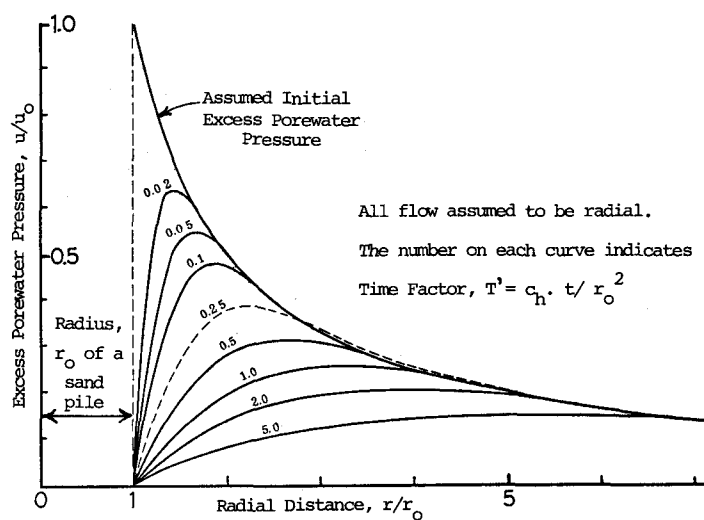


Fig. 1 Isochrones for Consolidation due to Installation of a Single Displacement Type Sand Pile

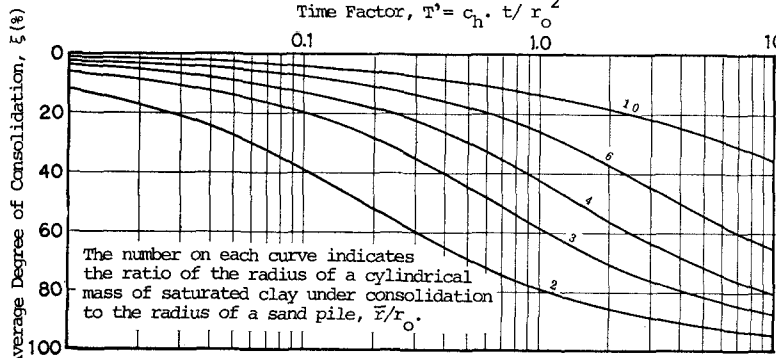


Fig. 2 Average Degree of Consolidation around a Driven Sand Pile

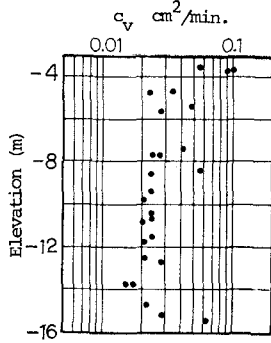


Fig. 3 Vertical Coefficient of Consolidation, c_v

表1 サンドドレンの打設に伴う圧密と圧密係数

	$(\Delta V/V)_w$	ξ	T'	$c_h \text{ cm}^2/\text{min}$
上戸 S1	3.50%	0.52	1.55	0.096
下戸 S2	4.42	0.65	3.20	0.046
上戸 S1	1.55	0.23	0.30	0.019
下戸 S2	2.93	0.43	1.02	0.015
平均 S1	2.14	0.32	0.53	0.033
平均 S2	3.38	0.50	1.42	0.021

距離的・時間的間隔を以て打設されながら、 c_h の発生・消散の過程は進みに複雑なものとなる。しゃく・砂吸留めの圧密は急速に進行するから、 c_h の初期条件が双曲線分布で近似され、それが既存の砂吸留めある程度交差している場合には、Fig. 2の結果は実用的な意味をもつことが予想される。

3. ケース・スタディ(衣浦港における野外実験データ)

砂吸留め打設後、盤土載荷前に、改良効果を実測した例^{2,6)}のみ少ない。衣浦港における打込式サンドドレンの例^{2,6)}に

すれば、直徑50cm, 1.7m正方形配置の砂吸28本が海底粘土アベニアで打設され、1週間後、1ヶ月後、各2本のチェックボーリングが行われた。海底2m(EL.-2~-4m)は砂で置換されたが、盤土載荷は行われていない。表1は粘土アベニアを上ア(EL.-4~-7)と下ア(-7~-14)に分け、打設後1週間(S1)と1ヶ月(S2)の含水比の減少より求めた平均体積変化率 $(\Delta V/V)_w$ を示す。砂吸打設による圧密量は $\beta \xi (A_s/A)$ で示されるから^{2,3)}、二の場合は $\beta \approx 1$ と仮定すれば、平均圧密度 $\xi = (\Delta V/V)_w / (A_s/A)$; 二のケースでは $A_s/A = 6.8\%$ 。一方、砂吸1本当たりの改良地盤・換算円筒形の半径 r_0 は96cm, $\therefore \xi / r_0 \approx 4$. Fig. 2の曲線より ξ に対応する T' を求めると、表1に示したよう¹⁾に(3)式により c_h を得る。Fig. 3は垂直方向の圧密係数 c_v の深度分布を示したものである。上アの c_h は c_v よりも大きく、下アの c_h はやや小さい。 $(\Delta V/V)_w$ の加重平均より求めた c_h は c_v とはほぼ等しい。ほど同じ時間中心地盤における変化と推察されるデータと平均圧密度とを直結しようとする以上の試みはいさゞか乱暴なものではあるが、smearの影響、アベニアでは垂直方向の排水を無視してその影響などを考慮するとしても、二の試みによる計算値 c_h は、全く荒唐無稽のものではないようと思われる。

4. むすび 上記の考察による結果は実験によって得られたものであり、従来完全に無視されてきた盤土載荷以前の段階における砂吸打設のみによる効果について、ある程度定量的に明確化できることを示している。各種のカーボード・ドレンについて、現在マンドレン打込みの効果は全く無視されざるを以て、上記の考察によることも明らかならず、多くの場合、二の要因による圧密効果は無視すべきでないと考査する。

5. 参考文献 1) 木下, 昭51 土木学会年次大会 III-257, 2) 木下, 昭52 土木工学研究発表会 315, 3) Akagi "Effect of Mandrel-driven Sand Drains on Strength," Proc. IX ICSMFE, Vol. 1, July 1977 1/1

4) Soderberg "Consol. Theory Applied to Fdn Pile Time Effects," Géotechnique, Vol. 12, No. 3, 1962

5) Hagerty & Garlanger "Consol. Effects around Driven Piles" Proc. Sp. Sess. on Perf. of Earth & Earth-supported Struct., Vol. 1, Part 2, ASCE, June 1972 6) 木庭・堀江「砂吸打設による地盤の強度」港研報告第10巻第3号 1971年9月 [June '77 for JSCE Meet' Kobe]